DOI: 10. 13205/j. hjgc. 202505021

赵子宇, 刘鑫宇, 姜媛媛, 等. 常温下气-液-固三相反应中钢渣对CO,的捕集研究[J]. 环境工程, 2025, 43(5): 192-198.

ZHAO ZY, LIU XY, JIANG YY, et al. Study on CO₂ capture by steel slag in gas-liquid-solid three-phase reaction at room temperature [J]. Environmental Engineering, 2025, 43(5):192-198.

常温下气-液-固三相反应中钢渣对CO2的捕集研究

赵子字1* 刘鑫字1 姜媛媛2 吴美璇3 杨 杰4 刘盛余1 孙玉馨5

(1. 成都信息工程大学 资源环境学院,成都 610225; 2. 华测认证有限公司,北京 100020; 3. 成都信息工程大学 大气 科学学院,成都 610225; 4. 昆明理工大学 环境科学与工程学院,昆明 650500; 5. 重庆大学 环境与生态学院,重庆 400044)

摘 要:为了改善钢渣吸附 CO_2 工艺高温高耗能的缺点,在钢渣中加入 H_2O 于常温下进行三相反应,探究三相体系中气体流速、钢渣粒径、固液比对 CO_2 吸附效率的影响。然后利用 XRD、热力学、动力学分析及 SEM 进行分析,探究其吸附产物生产量。结果表明:液相的加入显著影响了 CO_2 在常温下的吸附效率, $CaCO_3$ 的衍射峰相比两相反应体系明显增强,生成的 $CaCO_3$ 晶体含量更多,晶型相对较好,碳化度更高。当反应固液比为 25 g/L 时,随着钢渣比表面积与气体流速的增大, CO_2 的吸附效率明显增大。在常温下,当气体流速为 250 mL/min、钢渣粒径为 200 目时,测得其吸附效率达到 0.97%,而传统二相反应钢渣捕集 CO_2 ,其温度需达到 $400\sim500$ C 才可达到相同效率。该研究可为钢渣的资源化利用及低能耗捕集 CO_2 提供新的思路。

关键词:三相反应;钢渣;碳捕集;常温;资源化利用

Study on CO₂ capture by steel slag in gas-liquid-solid three-phase reaction at room temperature

ZHAO Ziyu^{1*}, LIU Xinyu¹, JIANG Yuanyuan², WU Meixuan³, YANG Jie⁴, LIU Shengyu¹, SUN Yuxin⁵

(1. College of Resources and Environment, Chengdu University of Information Technology, Chengdu 610225, China; 2. CTI Certification Co., Ltd., Beijing 100020, China; 3. School of Atmospheric Science, Chengdu University of Information Technology, Chengdu 610225, China; 4. Faculty of Environmental Science and Engineering, Kunming University of Science and Technology, Kunming 650500, China; 5. College of Environment and Ecology, Chongqing University, Chongqing 400044, China)

Abstract: In the context of carbon peaking and carbon neutrality, the development of economical and efficient carbon capture materials has become a critical research field. Steel slag, as a solid waste, has presented considerable potential for carbon capture; however, its application is limited by relatively high external energy consumption. In order to address the shortcomings of high-temperature and high-energy-consumption of CO_2 adsorption by steel slag, water was added into steel slag for a three-phase reaction at room temperature. The effects of gas flow rate, steel slag particle size, and solid-liquid ratio on CO_2 adsorption efficiency in three-phase systems were studied. Then, XRD, thermodynamic, kinetic analysis, and SEM were used to analyze the adsorption product production. The results showed that the addition of a liquid phase significantly affected the adsorption efficiency of CO_2 at room temperature. The diffraction peak of $CaCO_3$ was significantly enhanced compared to that in the two-phase reaction system, indicating a higher content of generated $CaCO_3$ crystals, better crystal

收稿日期:2024-01-14;修改日期:2024-03-12;接收日期:2024-04-03

基金项目:国家自然科学基金青年项目(42307525);成都信息工程大学引进人才项目(KYTZ202137);大气环境模拟与污染控制四川省高校重点 实验室开放课题(KFKT-YB-202203)

^{*}第一作者、通信作者:赵子宇(1992-),男,讲师,主要研究方向为新污染物防控、减污降碳技术开发。zhaozy@cuit. edu. cn

form, and a higher carbonation degree. When the solid-liquid ratio was 25 g/L, the adsorption efficiency of CO₂ increased obviously with the increase of the specific surface area of steel slag and the gas flow rate. At room temperature, when the gas flow rate was 250 mL/min and the steel slag particle size was 200 mesh, the adsorption efficiency was measured to be 0.97%. However, in the traditional two-phase reaction, to achieve the same efficiency, the temperature needed to be as high as 400 to 500 °C. This study provides new ideas for the resource utilization of steel slag and low-energy-consumption CO₂ capture.

Keywords: three-phase reaction; steel slag; carbon capture; room temperature; resource utilization

0 引 言

自工业革命开始以来,全球温室气体排放量不断增加,温室效应日益严重。气候变化已成为人类面临的严峻挑战。据统计,CO₂是造成温室效应的主要气体,占全球温室气体总温室气体效应的 70%以上,其余为甲烷、N₂O 和多种含氟气体。近年来,CO₂排放量的增加加剧了温室效应,导致海平面上升、冰川融化、海洋酸化等一系列问题,引起了人类对生态环境变化的关注。如何有效解决 CO₂排放问题成为研究热点^[1-3]。

Zhang等[4]研究发现,矿物中的钙硅相与CO₂发生反应,矿物碳酸化可以捕集CO₂。工业废弃物钢渣

因具有很强的活性可与 CO₂进行碳酸化反应,因此可以作为良好的载体来捕集固化 CO₂。

钢渣主要由 $CaO_xSiO_2_xAl_2O_3_xFeO_xFe_2O_3_xMgO_xMnO_xP_2O_5$ 和游离 $CaO(f-CaO)_x$ 游离 MgO(f-MgO)等组成,其中传统钢渣中游离氧化物含量为 1%~7%(f-CaO)含量一般为 1.7%~2.2%)。表 1为常见钢渣的主要成分。利用钢渣的主要成分 CaO 捕集 CO_2 属于 Ca-基捕集 CO_2 的一种技术。田思聪 [5] 研究利用钢渣进行闭环 CO_2 封存,采用循环冷却水 (CRW) 循环策略, CO_2 封存效率提高了近 1 倍,同时降低了 129%~183%的能源消耗和 35.6%的成本,这说明利用 Ca-基捕集 CO_2 经济可行,具有极大的工业应用前景。

表1 钢渣主要成分[4]

f steel slag ^[4]

%

项目	CaO	MgO	SiO_2	$\mathrm{FeO/Fe_2O_3}$	$\mathrm{Al_2O_3}$	MnO	P_2O_5
转炉渣	45~55	10	20	20	5	<5	1
电弧炉氧化渣	30~40	5	20	38	5	<5	1
电弧炉还原渣	55~60	5	20	<20	>5	<5	1
美国渣协会统计值	42.9	8.5	~ 15	~ 25	~ 5	~ 5	1

近年来,Ca-基捕集 CO₂技术已取得了突破性进展。针对钢渣中可用于碳酸化固定 CO₂的活性钙比例较低这一限制因素,开发出了低醋酸/钢渣投加比酸浸取技术,实现了钢渣中 Ca和 Fe的高效分离,并分别以高纯生石灰和富铁矿物的形式回收^[6]。由于高温烧结作用,钙基吸收剂的反应活性随循环次数增加急剧衰减,如何抑制吸收剂的烧结,从而提高吸收剂捕集 CO₂反应活性及循环稳定性意义重大。而钙基吸收剂中惰性负载 MgO 能有效提高吸收剂循环捕集 CO₂性能^[7]。传统的 CO₂捕集要求在低温下进行操作,降低烟气温度则会增加额外的能耗。部分学者着重研究了高温钙基吸附剂的 CO₂吸附过程,发现钙基吸附剂在 800 ℃下煅烧、650 ℃下吸附的效果最好,吸附量为 387. 9 mg/g。过高的煅烧温度会使吸附剂发生烧结,进而影响吸附 CO₂的能力^[8]。

虽然钙基吸附技术已有一定突破,但仍然具有显著缺点。氧化钙吸附剂理论吸附量很大,但从目

前的报道看,其初始吸附量很难达到理论吸附量^[9]。 且 Ca-基 CO₂捕集技术一般需要在 600~700℃的高温 下进行反应,能耗较高^[10]。

钢渣碳酸化是利用矿物碳酸化吸收固定 CO₂的一种方式,碳酸化后的钢渣结构稳定,可以更好地作为建筑材料或路基材料,从而实现钢渣的可持续利用^[11]。此外,碳酸化是放热反应,钢渣碳酸化消耗的能量很低^[12]。目前主要的研究方向为气-固碳酸化^[13]。在300~500℃下用粉煤灰直接与CO₂反应1h,碳酸化度最终达到17%^[14];在常温常压条件下用波兰特水泥制成水泥块直接与CO₂反应长达8个月,最终碳酸化度达到12%^[15];在200~500℃下用粉煤灰直接与CO₂反应6h,最终碳酸化度达到13%^[16];在室温和10 atm(1 atm=101325 Pa,下同)的条件下直接用飞灰与CO₂反应1h,最终碳酸化度为2%^[17];在300~700℃和2~7 atm的条件下反应90 min,碳酸化度达到8%;在常温常压下用高炉渣直接与CO₂反应24h,

碳酸化度最终达到 4%^[18],详见表 2。由此看来,气一固碳酸化的大部分实验得到的碳酸化度为 2%~20%,但在湿润的环境下,如液固比约为 0.2 L/kg 时,在常温常压下反应 120 min,碳酸化度就可达到 30%^[19],因此其气一固碳酸化碳酸化效率较差,且反应时间更长,且温度更高,能源消耗更大。这主要是因为 CO₂ 很难深入钢渣与 CaO 反应,且反应后在钢渣表面生成的致密的 CaCO₃进一步阻碍了碳酸化,而当有水存在时,钢渣中的钙容易浸出,并与 CO₂发生碳酸化反应,从而提升碳酸化效率。另外,气固碳酸化需要在较高温度下进行,在耗费大量能量的同时也会产生大量 CO₂。由此,本研究在直接气一固碳酸化的基础上,研究利用气-液-固三相反应的常温钢渣捕集 CO₂技术。

表 2 矿物材料与 \mathbf{CO}_2 反应的碳酸化度

 $\begin{array}{ccc} \textbf{Table 2} & \textbf{Carbonation degree of mineral materials reacting} \\ & \textbf{with CO}, \end{array}$

材料	反应条件	反应时间	碳酸化度
粉煤灰[14]	300~500 °C	1 h	17%
粉煤灰[16]	200~500 °C	6 h	13%
波兰特水泥[15]	常温常压	240 d	12%
飞灰[17]	室温和 10 atm	1 h	2%
飞灰[17]	300~700°C和 2~7 atm	90 min	8%
高炉渣[18]	常温常压	24 h	4%

本研究利用工业废弃物钢渣在常温条件下吸收 CO₂,分别探究了干燥环境与湿润环境下钢渣对 CO₂ 的吸收效率,并对反应前后钢渣的理化性质进行表征,剖析了2种环境下钢渣吸收 CO₂效率提升的可能机制,为钢渣的资源化利用和低成本的 CO₂捕集提供参考。

1 实验部分

1.1 实验原料

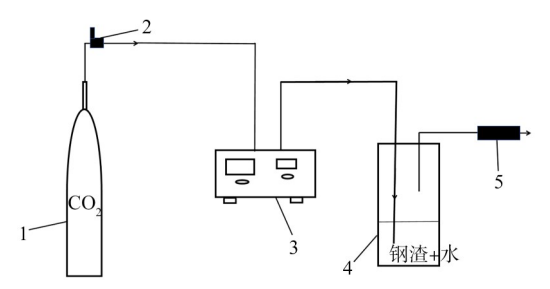
主要原料为钢渣(工业生产中废弃的钢渣),其主要成分为CaO和MgO。CO₂(成都和平气体贸易中心,40L,混合气,20%CO₂+80%N₂)、蒸馏水。

1.2 实验设备

所有实验仪器包括磨碎机、精密天平、烘干机、高温红外灯、目筛、研钵、气速质量流量计、XRD分析仪(厂家 Rigaku Compan, Japan, 型号 D/max-3BPEX-P96)、SEM 分析仪(Thermo Scientific, Quanta FEG 250)、二氧化碳检测仪(ERUN, PG71S6-C2)。

1.3 实验装置

CO₂捕集反应装置如图 1 所示,主要由气体速度流量仪和反应瓶组成。主要过程是 CO₂从高压气瓶出口,经由气体质量流量计进入反应系统,出口由二氧化碳检测仪检测,观察其反应限度。在实验过程中,将适量的钢渣与蒸馏水充分混合形成特定固液比,然后密封,先通入 N₂排尽空气,后设定气速质量流量计的气体流速参数,再通入实验气体 CO₂,进行捕集效果分析实验。



1一高压气瓶;2一阀门;3一气速质量流量计;4一反应瓶; 5—二氧化碳检测仪

图1 CO,捕集反应装置工艺

Figure 1 Process flow of the CO, capture reaction device

1.4 实验方法

将钢渣进行碾磨,分别过目数为80、100、120、160、200的筛网进行筛取,得到不同粒径的钢渣粉末,再与蒸馏水进行混合,形成固液比为25,30,35,40,45,50g/L的混合物,所有过程在高温红外灯下进行,规避空气中的水分可能对实验结果造成影响。而后设置好气体流速(150,200,250 mL/min)并于常温常压条件下通人CO₂,用二氧化碳检测仪观察实验的反应限度。通过称量反应装置前后整体的质量,得出钢渣对二氧化碳的捕集效率。钢渣捕集二氧化碳的捕集效率用X(%)表示,其计算公式如式(1)所示:

$$X = \frac{m_0 - m_1}{m_0} \times 100\% \tag{1}$$

式中: m_0 为反应前装置整体质量,g; m_1 为反应后装置整体质量,g。

实验中反应前后对照组中装置的质量差值主要为 CO₂, H₂O 的质量作为背景值进行扣除, H₂O 的存在更多充当了类似活化剂的角色,生成的 Ca(OH)₂并不稳定,新的 CO₂进入后会继续生成 CaCO₃。另外,反应时间较长,导致质量变化的主导因子是 CO₂。为了进一步确保实验数据的准确性,通过计算游离氧化物的最大吸附量进行类比分析。

2 结果与分析

为了研究钢渣在常温下捕集 CO₂的影响因素,通过控制反应气体流速、钢渣粒径、反应固液比,得到相对最佳的反应条件。

2.1 反应过程分析

2.1.1 反应气体速度对 CO₂捕集效率的影响

化学反应最佳反应点往往在反应达到平衡时,但钢渣捕集 CO₂时间过长,且后续阶段捕集效率增加缓慢,这一现象主要是由于矿化反应生成的碳酸矿物层附着在钢渣表面,限制了 CO₂和钙镁离子的扩散,当碳酸矿物层达到一定厚度时,若不加以干预,则矿化进行缓慢^[20]。因此实验通过控制反应时间、钢渣粒径和反应固液比,探讨其在不同气体流速时的效率变化。

常温下粒径为100目,固液比为25 g/L,气体流速分别为150,200,250 mL/min时的CO₂捕集效率如图2 所示。可知:随着气体流速增加,钢渣与CO₂的反应更加剧烈。从捕集效率来看,在气体流速为150,200 mL/min时,捕集效率由0.16%缓慢升至0.19%,而当气体流速升至250 mL/min时,捕集效率由0.19%升至0.30%。其原因可能是在气速比较小时,钢渣与CO₂的接触面积比较小,导致外部的钢渣与CO₂反应生成的CaCO₃覆盖在钢渣表面,导致内部大量钢渣无法继续反应,所以相同时间内,反应速率更慢,捕集效率也更低;且随着CO₂气速的增加,钢渣与CO₂的接触面积逐渐增大,捕集效率相应地得到了提高。

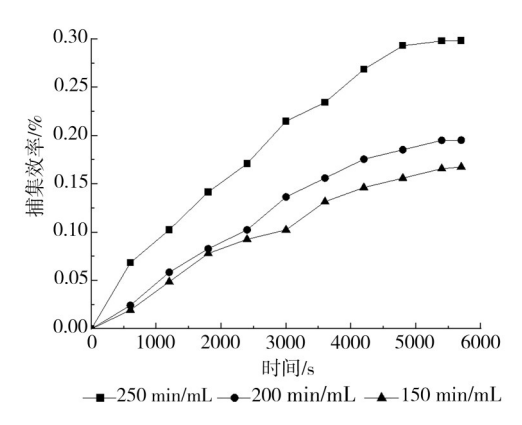


图 2 不同气体流速对 CO, 捕集效率的影响

Figure 2 Effects of different gas flow rates on CO, capture efficiency

2.1.2 反应固液比对 CO₂捕集效率的影响

为了研究固液比对 CO_2 捕集效率的影响,控制气体流速为 250 mL/min,钢渣粒径为 200 目,通过改变

固液比,考察钢渣对CO₂的最佳吸附效率,结果如图3 所示。可知:在固液比为25,30,35 g/L时,钢渣对CO₂的捕集效率由原来的0.97%下降至0.25%,而到40 g/L时捕集效率又上升至0.56%,在45 g/L和50 g/L时缓慢降至0.23%。因此,40 g/L是比较好的捕集固液比,但不是最佳固液比。综上,在固液比为25 g/L时,CO₂捕集效率最高。

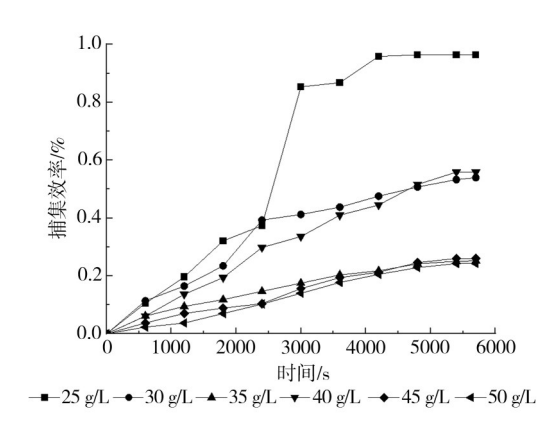


图 3 不同固液比对 CO, 捕集效率的影响

Figure 3 Effects of different solid-liquid ratios on CO, capture efficiency

2.1.3 钢渣粒径对CO。捕集效率的影响

为进一步了解常温下钢渣粒径对 CO₂捕集吸附的影响,控制固液比 25 g/L,气体流速 250 mL/min,改变钢渣粒径,结果如图 4 所示。

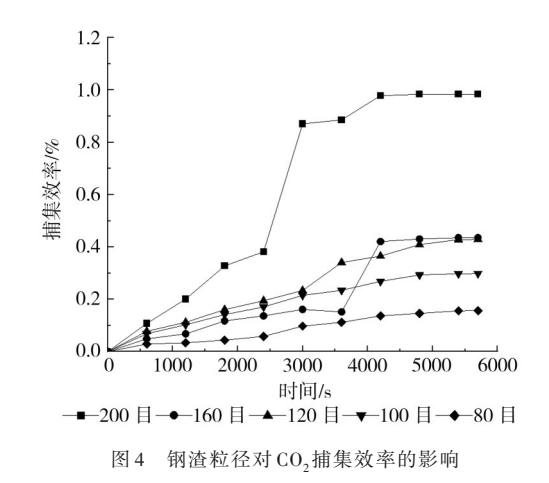


Figure 4 $\,$ Effects of steel slag particle size on ${\rm CO}_2$ capture efficiency

由图 4 可知:随着钢渣粒径的增大,CO₂的吸附效率逐渐降低,在粒径最小为 200 目时的吸附效率最佳,为 0.97%。原因是当粒径越小时,吸附面积相对增大,从而增加钢渣与 CO₂的接触面积,提高吸附效率。此外,较小的粒径也意味着更高的孔隙度和孔隙体积,有利于 CO₂在钢渣内部的扩散。因此,更小

粒径的钢渣对 CO₂有更高的捕集效率。但是过小的 粒径钢渣可能会带来更高的工艺成本和容易造成堵 塞的问题。综上,钢渣粒径为 200 目时, CO₂的吸附性 能最佳。

2.2 反应动力学分析

钢渣捕集 CO_2 的可行性和实验数据的精确度,可以通过研究其动力学即反应时间与捕集效率的关系来明晰、验证。当气速为 250 mL/min,钢渣与 CO_2 的固液比分别为 25,30,35,40,45,50 g/L 时,反应时间 t 与 CO_2 的吸附量 q_i 的关系如图 5 所示。为了研究钢渣和 CO_2 的动力学特性,建立了捕集过程的最佳动力学模型,利用一级和二级动力学方程对图 5 进行拟合分析,并根据线性相关系数 R^2 的值来判断这 2 种模型的适应性。

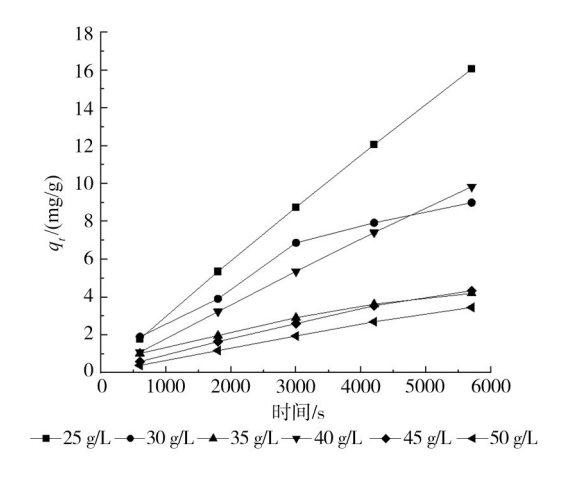


图 5 不同固液比时 q_ι - t 曲线 Figure 5 q_ι - t curves at different solid—liquid ratios

一级动力学方程如式(2)所示:

$$\ln(q_e - q_t) = \ln q_e - k_1 t \tag{2}$$

式中: $q_e \setminus q_t$ 分别为反应平衡时和t时刻钢渣对 CO_2 的 捕集量,mg/g; k_1 为一级吸附速率常数, min^{-1} 。

采用一级动力学方程对图 5 中数据进行线性拟合,拟合参数见表 3。

二级动力学方程如式3所示:

$$\frac{t}{a} = \frac{1}{k^2 a^2} + \frac{t}{a} \tag{3}$$

式中:k,为伪二级吸附速率常数,g/(mg·min)。

由表 3 和表 4 中相关系数 R^2 可以看出: 二级动力学方程更符合钢渣捕集 CO_2 的过程, R^2 达到 0.9 以上。采用二级反应平衡常数更能准确地描述该动力学过程。

表3 一级吸附动力学曲线的拟合参数

Table 3 Fitting parameters of first-order adsorption kinetic curves

浓度/(mg/L)	q_{e}	R^2	k_1
25	4.6923	0.7742	0.0564
30	3.7657	0.6423	0.0357
35	2.8402	0.6363	0.0574
40	3.9729	0.6022	0.0413
45	6.9524	0.5431	0.0524
50	3.1424	0.6167	0.0265

表 4 二级吸附动力学曲线的拟合参数

Table 4 Fitting parameters of second-order adsorption kinetic curves

浓度/(mg/L)	q_{e}	R^2	K_2
25	5.5175	0.9689	0.0172
30	5.0491	0.9536	0.0257
35	9.5803	0.9579	0.0034
40	9.1116	0.9442	0.0081
45	16.4425	0.9858	0.0593
50	24.8562	0.8781	0.0006

2.3 钢渣吸收 CO,机制

2.3.1 XRD表征分析

图 6 为钢渣样品用 CuKa 辐射进行了 XRD 表征,在此过程中,扫描区范围为-5°~85°。可知:钢渣实验前样品的 XRD 表征图中衍射峰主要包括 CaO、MgO、CaCO₃,主要成分为 CaO。实验后,CaCO₃的衍射峰远高于实验前,且实验后 CaO 的高峰值基本无显示,说明钢渣中的 CaO 经过水和 CO₂的三相反应生成了大量的 CaCO₃,进一步反映出加入水的钢渣在室温下具有良好的捕集 CO₂的能力。

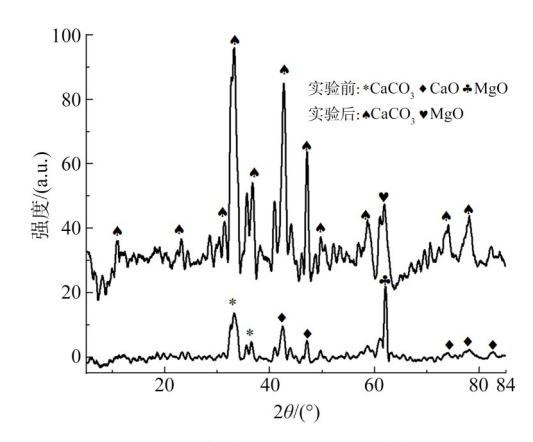


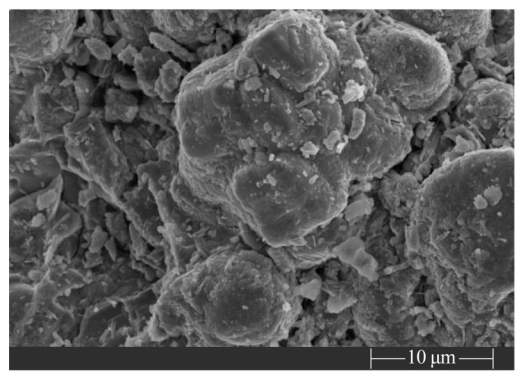
图 6 反应前后钢渣的 XRD 分析

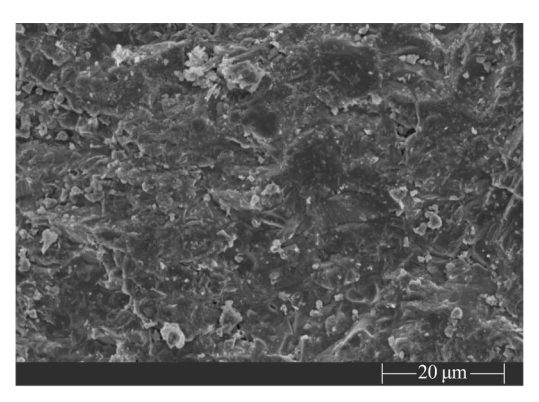
Figure 6 XRD analysis of steel slag before and after reaction

2.3.2 SEM 扫描电镜表征分析

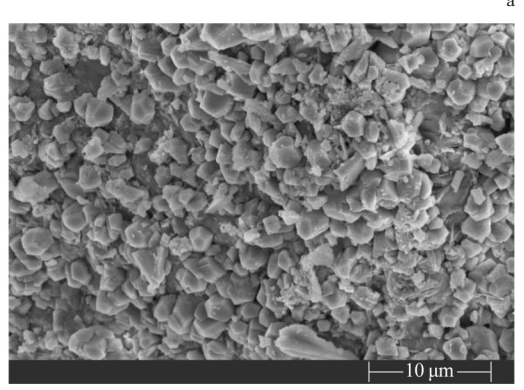
扫描电镜图像可用于分析材料的形貌。钢渣和CO₂捕获产物的SEM图像如图7所示。其中,图7a为未加H₂O的钢渣和捕集产物CaCO₃放大10000倍、5000倍的扫描电镜图。图7a是加H₂O的钢渣和捕集产物碳酸钙放大10000倍、5000倍的扫描电镜图。结

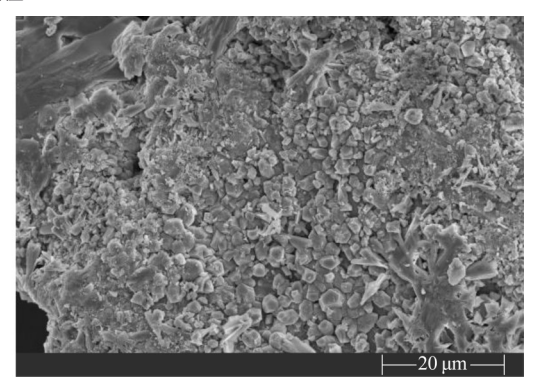
果表明:未加 H_2O 的钢渣进行捕集 CO_2 ,即固-气二相反应后,发现少部分碳酸钙晶体结构,而加入 H_2O 的钢渣进行捕集 CO_2 ,即固-液-气三相反应后,发现了大量的 $CaCO_3$ 晶体结构。说明在常温时三相反应对钢渣捕集 CO_2 的效果更好。





a-钢渣





b—CO₂捕获产物 图 7 钢渣和 CO₂捕获产物的 SEM 图像

Figure 7 SEM characterization of steel slag and CO, capture products

3 结 论

本文分析了 H_2O 对于钢渣吸附 CO_2 的影响,探究了不同气体流速、钢渣粒径、固液比条件下 CO_2 吸附效率,并研究了钢渣三相反应吸收 CO_2 的合理性,主要结论如下:

- 1)室温下,钢渣对CO₂的捕集效率随着气体流速 的增大而增加。气体流速越大,单位时间接触的CO₂ 越多,可促进钢渣的吸附效率。
- 2)随着钢渣粒径减小,比表面积增大,钢渣的吸附能力增强,钢渣的碳化度也逐渐增加。
- 3)随着反应固液比的减小,液相占比越多,反应越充分,CO₂吸附效率也相应地增大,碳化作用得以促进,碳化产物CaCO₃越多。实验发现反应固液比为25 g/L、气体流速为250 mL/min、钢渣粒径为200目

时,可得到一个相对最佳的CO,吸附效率0.97%。

4)对捕集产物 CaCO₃表征分析发现,在常温下加入 H₂O 钢渣吸附 CO₂形成三相反应捕集效率更高,相比传统钢渣捕集 CO₂在高温下的两相反应更加节能。利用三相反应吸附 CO₂后的钢渣存在大量 CaCO₃晶体,晶型相对较好,且 CaCO₃晶体衍射峰相比两相体系明显增强,碳化度更高。

参考文献

- [1] 张力婕, 张英, 黎晓璇. 二氧化碳捕集技术研究进展[J]. 中外 能源, 2023: 73-81.
 - ZHANG L J, ZHANG Y, LI X X. Research progress of carbon dioxide capture technologies [J]. Sino-Global Energy, 2023: 73-81.
- [2] 宋坚民. 探讨钢渣吸附二氧化碳的可行性[J]. 环境工程, 2010, 28(增刊1): 214-217, 337.
 - SONG J M. Discussion on feasibility of adsorbing carbon dioxide

- by steel making slag[J]. Environmental Engineering, 2010, 28 (S1): 214-217, 337.
- [3] 魏超. 钢渣一冷轧废水捕集 CO₂动力学及碳酸化渣资源利用研究[D]. 赣州:江西理工大学, 2021.
 - WEI C. Study on the kinetics of CO₂ capture by steel slag with cold-rolling wastewaterand carbonated slag resource utilization [D]. Ganzhou: Jiangxi University of Science and Technology, 2021.
- [4] ZHANG H N, ZUO Q Q, WEI C. Closed-circulating CO₂ sequestration process evaluation utilizing wastes in steelmaking plant[J]. Science of the Total Environment, 2020: 738.
- [5] 田思聪. 钢渣制备高效钙基 CO_2 吸附材料用于钢铁行业碳捕集研究[D]. 北京:清华大学, 2016.
 - TIAN S C. Synthesis of highly-efficient, Ca-based CO₂ sorbents from steel slag and application for carbon capture in the iron and steel industry[D]. Beijing: Tsinghua University, 2016.
- [6] 张晓辉, 孙荣岳, 周勇, 等. 镁负载制备高活性钙基吸收剂循环 捕集 CO_2 研究 进展 [J]. 电站系统工程, 2020, 36(6): 87-90.
 - ZHANG X H, SUN R Y, ZHOU Y, et al. Research progress on synthesis of CaO/MgO sorbents and their CO₂ capture capacities [J]. Power System Engineering, 2020, 36(6): 87-90.
- [7] 刘怡. 双碳背景下基于二氧化碳捕集的钢渣处理技术发展现状[J]. 环境工程,2023,41(增刊2):1290-1292,741.
 - LIU Y. Development status of steel slag treatment technology based on carbon dioxide capture under double carbon [J]. Environmental Engineering, 2023, 41(S2): 1290-1292, 741.
- [8] 赵珂萍,李晓玉,李瑞红,等. 固废源 CaO 基 CO_2 捕集材料的 制备与捕集性能研究进展 [J]. 硅酸盐通报, 2023, 42(2): 520-530.
 - ZHAO K P, LI X Y, LI R H, et al. Research progress on preparation and capture performance of CaO-based CO₂ capture materials from solid wastes [J]. Bulletin of the Chinese Ceramic Society, 2023, 42(2): 520-530.
- [9] 何柳. 二氧化碳高温吸附剂的固定床研究[D]. 西安:西北大学, 2017.
 - HE L. The study of carbon dioxide high temperature adsorption in fixed-bed[D]. Xi'an: Northwest University, 2017.
- [10] 王胜平, 沈辉, 范莎莎, 等. 固体二氧化碳吸附剂研究进展 [J]. 化学工业与工程, 2014, 31(1): 72-78.

- WANG S P, SHEN H, FAN S S, et al. Research progress of solid adsorbents for CO_2 capture [J]. Chemical Industry and Engineering, 2014, 31(1): 72–78.
- [11] 吴跃东,彭犇,吴龙,等. 国内外钢渣处理与资源化利用技术发展现状综述[J]. 环境工程,2021,39(1):161-165. WU Y D, PENG B, WU L, et al. Review on global development of treatment and utilization of steel slag [J]. Environmental Engineering, 2021, 39(1):161-165.
- [12] HUIJGEN W J, WITKAMP G, COMANS R. Mechanisms of aqueous wollastonite carbonation as a possible CO₂ sequestration process [J]. Chemical Engineering Journal, 2006, 61 (13): 4242-4251.
- [13] SCHMIDT R, RMANOSKY B. Program overviews: ${\rm CO_2}$ sequestration mineral [C]// MC Workshop (Ed.), Pittsburgh, USA, 2001
- [14] TIAN S, JIANG J. Sequestration of flue gas CO₂ by direct gassolid carbonation of air pollution control system residues [J]. Environmental Science & Technology, 2012, 46(24): 13545-13551.
- [15] ABBASPOUR T, TANYU B. CO₂ Sequestration by carbonation processes of rubblized concrete at standard conditions and the related mineral stability diagrams[J]. ACS Sustainable Chemistry & Engineering, 2020,8: 6647–6656.
- [16] RENATO B A P, RAFFAELLA P, VALENTINA P, et al. CO₂ sequestration by direct gas-solid carbonation of air pollution control (APC) residues[J]. Energy & Fuels, 2006, 20: 1933–1940.
- [17] TAMILSELVI D R R, KANDASAMY P, ANDIMUTHU R. Direct mineral carbonation of coal fly ash for CO₂ sequestration [J]. Journal of Cleaner Production, 2016, 112: 4173-4182.
- [18] ZHANG H, WEI C, DONG J. Inhibition kinetics of chromium leaching by calcite coating on the surface of stainless steel slag via the gas-solid accelerated carbonation process[J]. Waste Biomass Valorization, 2020, 12(1): 475-485.
- [19] BACIOCCHIR, COSTAG, POLETTINIA, et al. Effects of thinfilm accelerated carbonation on steel slag leaching[J]. Journal of Hazardous Materials, 2015, 286: 369-378.
- [20] CHANG E E, PAN S Y, CHEN Y H, et al. Accelerated carbonation of steelmaking slags in a high-gravity rotating packed bed[J]. Journal of Hazardous Materials, 2012, 227: 97-106.